

Barium Ferrite 組織構造에 關한 研究(第 1 報)

安 永 強·李 恒

(建國大學校 理工大學)

皇 甫 漢·都 命 基

(嶺 南 大 學 校)

Studies on Microstructure of Barium Ferrite (Ist. Report)

Young Pil Ahn, Kwang, Lee

(College of Science and Engineering, Kon Kuk University)

Han Whang-Bo, Myung-Ki Doh

(Dept. of Chem. Eng, Yeung Nam Univ.)

(1969. 8. 30 接受)

ABSTRACT

X-ray diffraction intensity of barium ferrite sintered at 1280°C as first sintering, varying mole ratio of barium carbonate and iron (III) oxide was checked. The results corresponded to that magnetic coercivity in previous report. The microstructure and sintering condition were observed by means of two step replica method without etching by electron microscope.

緒 論

廣意로서 ferrite 란 酸化金屬과 酸化鐵을 成分으로 하는 화합물 및 그 복합유도체의 총칭을 意味하나 최근에는 이들 一連의 化合物 및 固溶體중 强磁性을 갖는 것을 뜻하고 一般式은 $MO \cdot nFe_2O_3$ 로 표시된다. 磁性體로서의 $BaO \cdot Fe_2O_3$ 系 酸化物의 연구는 본격적으로는 和蘭의 philips 社 연구진의 $BaO \cdot 6Fe_2O_3$ (Ferroxdure)의 보고가⁽⁵⁾ 그 단서라 하여도 과연이 아니다. 이 系統의 磁石은 spinel 系 磁石에 비하여 제조가 용이하여 값이 싸고 硬磁石으로서 그 응용분야도 넓다. Struthers, Ward 는 산소의 존재 하에서 $BaCO_3$ 와 O_2 와의 反應速度를 연구하였고⁽⁴⁾ Erchak 等은 $BaCO_3$ 와 Fe_2O_3 와의 固相反應 生成物을 X線 解析으로 확인하였고⁽⁴⁾ Hüttig 는 alkali 金屬의 많은 ferrite 를 제조하였다. Goto 및 Okazaki⁽²⁾ 等은 $BaCO_3 \cdot Fe_2O_3$ 系의 狀態연구를 하였으나 이들 固溶態의 成分이 복잡하고 다양하여 아직 명확히 구명되지 않은 점도 많다. 電子顯微鏡的研究는 J. Drobck 가 ferroxdure 의 表面構造를 replica 法으로 관찰하였고⁽¹⁾ Stuijts⁽¹⁰⁾ 는 $BaO \cdot$

5 Fe_2O_3 的 微細構造를 관찰하였다. 國內에서는 皇甫⁽⁸⁾⁽⁹⁾ 等은 Steingrever의 pole-coil 法을 이용하여 磁力測定으로 barium ferrite 生成反應率을 速度論의 으로 연구하였고 그 제조과정의 試料의 物性 및 그 製造過程 및 條件에 따른 磁氣性質에 관하여 報告하였다. 本報에서는 barium ferrite 제조과정에서의 最高條件의 결정에 한 자료를 얻고자 $BaCO_3$ 와 Fe_2O_3 의 mole 를 달리 하여 一次燒成한 시료의 barium ferrite 生成量을 X線解析으로 비교하였고 그 表面構造를 replica 法으로 電子顯微鏡的觀察을 병행하여 검토하였다.

實驗方法

1. 試料準備: 試料로서 酸化鐵은 落鐵을 黃酸에 용해시켜 黃酸鐵(II)로 얻은 다음 알콜로 再結晶하였다. 이를 탈수한 다음 660°C~680°C에서 6 時間焙燒하고 水洗로서 残留하는 SO_4^{2-} 를 제거하고 이를 다시 건조하고 분쇄하여 酸化鐵을 얻었다.

$BaCO_3$ 는 Merck 試藥品을 사용하였다.

2. 化學分析: 試料 약 0.2 g 을 청평하여 친한 염산

약 25 ml에 용해시킨 다음 염화주석(II)으로 Fe^{+3} 을 Fe^{+2} 로 환원시키고 염화수은(II)포화용액을 10 ml가 하여 과잉의 주석(II)을 산화시켜 전한 인산 약 5ml와 중류수로서 액량을 200 ml로 하여 diphenylamine을 지시약으로 하여 0.1 N $\text{K}_2\text{Cr}_2\text{O}_7$ 표준용액으로 분석하였다⁽⁶⁾.

3. 一次燒成: 酸化鐵과 탄산바륨을 mole比로서 2 : 1, 3 : 1, 4 : 1, 6 : 1로 혼합하여 濕式으로 6시간 교반시킨 후 다시 건조하여 분쇄한다. 이 혼합물을 2 ton/cm²의 압력하에서 직경 14 mm, 높이 6 mm 정도의 圓柱로 성형시키고 1280°C에서 120분간 一次燒成시켜 試料로 하였다.

4. 電子顯微鏡觀察: 原料試驗은 직접 분산시켜 관찰하였고 一次燒成시킨 試料는 그 表面을 研磨하여 cellulose acetate-butylate film으로 一段 replica를 얻고 이를 真空蒸着裝置에서 Cr 및 carbon으로 shadowing하여 2段 replica로서 檢鏡하였다. 檢鏡을 마친 試料는 分解하여 X線 強度測定을 행하였다.

5. X線 強度測定: 사용한 X-ray diffractometer는 NORELCO製로 molybdenum target를 사용하였고 作動條件은 50 Kv·20 milli ampere였다. X線 嶴折強度로서 mole比를 달리하여 燒成시킨 각종 시료중에 존재하는 Fe_2O_3 hexagonal barium ferrite의 phase量을 추정비교하였다. 勿論 加熱溫度에 의하여 嶴折線의 強度가 증대하고 존재하는 phase量과 嶴折線의 強度가 반드시 비례하지는 않지만 試料상호간의 비교는 이 정도로서도 충분히 적용될 것으로 생각된다.

結果 및 考察

酸化鐵(Fe_2O_3)의 제법은 여러가지가 있는데 그 製造方法에 따라서 粒子型이 다르며 이들이 ferrite를 형성하는 固相反應에도 차이가 있음이 알려져 있다.⁽²⁾ Fig. 1에서처럼 FeSO_4 를 焙燒하여 얻은 乾式法에 의한 酸化鐵의 粒子形狀은 粒狀이나 黃酸鐵(II)을 용액중에 修酸을 加하여 褐酸鐵(II)을 석출시켜 공기 중에서 分解하여 얻은 Fe_2O_3 는 柱狀의 porous 한 粒子狀이다⁽³⁾. BaCO_3 는 杆狀이 있다. 製造한 酸化鐵(II)의 分析結果는 아래와 같다.

Table 1. Analysis of specimen obtained by roasting of iron(II) sulfate

Content of Iron (%) as Fe_2O_3	Impurity as metal	X-ray diffraction
97.67	Si, Al, Mg, Cu, Mn, Zn	$\alpha\text{-Fe}_2\text{O}_3$

主成分인 Fe_2O_3 에 對해서만 分析하였는데 불순물의

함량이 ferrite의 結晶成長이나 電氣抵抗등에 지대한 영향을 미치는 것으로 알려져 있는데 이 純度가 문제가 될 것으로 안다. Koops는 Ni-Zn ferrite의 연구에 있어서 高抵抗膜을 形成하는것으로 추정하였다. 燒結條件의 선정은 Goto⁽²⁾ Okazaki⁽⁵⁾ 等의 狀態圖연구에 근거로 하였다.

BaCO_3 와 Fe_2O_3 와의 固相反應은 약 600°C에서 시작하여 먼저 BaFe_2O_4 가 생성한다.

이 相은 BaO 와 Fe_2O_3 가 1 : 1의 mole比 부근에서는 單一相이고 融點까지 안정하나, mole比가 이 범위를 벗어난 영역에서는 잔유하고 있는 BaCO_3 또는 Fe_2O_3 와 800°C 이상에서 反應을 일으켜 $2\text{BaO}\cdot\text{Fe}_2\text{O}_3$ 또는 $\text{BaO}\cdot6\text{Fe}_2\text{O}_3$ 등의 結晶相이 생긴다. mole比가 1 : 1에서 1 : 6의 영역에 걸쳐 $\text{BaO}\cdot6\text{Fe}_2\text{O}_3$ 가 생성한다고 報告되어 있다. 또한 Erchak에 의하면 BaCO_3 와 Fe_2O_3 와의 固相反應에서는 BaCO_3 의 함유량이 5~50%의 범위에서 750°C 이상의 온도이면 $\text{BaO}\cdot6\text{Fe}_2\text{O}_3$ 가 생성함을 보고하고 있다.

또한 Ziolkowski 및 Battio⁽⁵⁾의 연구로는 $\text{BaO}\cdot6\text{Fe}_2\text{O}_3$ 는 1450°C~1500°C에서 용융하며 동시에 分解되어 $\text{BaO}\cdot2\text{FeO}\cdot8\text{Fe}_2\text{O}_3$ 혹은 $\text{BaO}\cdot\text{Fe}_2\text{O}_3$ 와 Fe_2O_3 또는 Fe_3O_4 로 됨을 보고하였다. 이에 본 실험에서의 一次燒成에서는 燒成온도를 위의 보고와 사용한 furnace의 온도범위를 고려하여 1280°C에서 2시간 소결시켜 偏析이 일어나지 않게 하였다. 皇甫⁽⁸⁾等의 실험에서는 실제로 一次燒成反應을 同一한 温度에서 10分으로 完結하였다고 보고하고 있다. X-ray 嶴折像에서도 (Fig. 7에서 아래로부터 試料 A,B,C,D) $\text{BaCO}_3\cdot\text{Fe}_2\text{O}_3$ 의 mole比가 1 : 2인 試料 A에서는 BaO 가 많이 잔존해 있고 $\text{BaO}\cdot6\text{Fe}_2\text{O}_3$ 가 생성되어 있음을 알 수 있다. mole比가 1 : 3인 試料 B에서는 $\text{BaO}\cdot\text{Fe}_2\text{O}_3$ 가 다른 어느 試料보다 가장 많이 함유되어 있음을 나타내고 있으며 BaO 의 약한 嶴折像도 인정된다. mole比 1 : 4의 試料 C에서는 sample B 보다 $\text{BaO}\cdot6\text{Fe}_2\text{O}_3$ 의 量이 적으며 $\alpha\text{-Fe}_2\text{O}_3$ 가 함유되어 있음을 알 수 있고 BaO 의 嶴折像으로 보아서 약간 残存해 있는것 같다. mole比 1 : 6인 試料 D에서는 $\alpha\text{-Fe}_2\text{O}_3$ 가 대부분이며 $\text{BaO}\cdot6\text{Fe}_2\text{O}_3$ 의 量은 아주 작다.

이러한 結果는 同一條件의 試料로 실험한 皇甫⁽⁸⁾等의 磁力測定에 의한 速度論的研究에서의 報告와一致하고 있다. X線 嶴折像에서 試料 전체에 걸쳐 未確認의 Peak가 나타나는데 이는 다른 組成의 $\text{BaO}\cdot\text{Fe}_2\text{O}_3$ 의 酸化物로 보인다.

Erchak, Okazaki, Goto等의 연구에 의하면 BaO 의濃度가 높은 쪽에는 $\text{BaO}\cdot\text{Fe}_2\text{O}_3$, $2\text{BaO}\cdot\text{Fe}_2\text{O}_3$ 혹은 3

$\text{BaO} \cdot \text{Fe}_2\text{O}_3$ 등의 결정학적으로 흥미 있는結晶群이 있고 그리고 Fe_2O_3 의 농도가 높은쪽에서는 $\text{BaO} \cdot 2\text{FeO} \cdot 8\text{Fe}_2\text{O}_3$, $2\text{BaO} \cdot 3\text{Fe}_2\text{O}_3$ 등이 있음을報告하고 있다. 電子顯微鏡에서도試料가 $\text{BaO-Fe}_2\text{O}_3$ 의固相生成物의組成이 복잡하므로서一貫性 있는 설명은 곤란하다.

Fig. 3는燒結된粒界가뚜렷하여마치crack와같은感을주게되나이것은 BaCO_3 의mole比가크므로分解된未反應의 BaO 나 $\text{BaO-Fe}_2\text{O}_3$ 등이燒結粒界에存在하여또한polishing할때未反應의 BaO 는물에용해되어버려crack와같은感을주게된다.

Fig. 4는燒結粒子表面中에微細한凹凸이甚한것은 BaO 가燒結生成物中에널리퍼져있음을나타낸다.

Fig. 5는細細한凹凸이있는燒結體表面에smooth한粒子表面도보이는데이것은이sample에 Fe_2O_3 의함유량이증가됨으로서 Fe_2O_3 의燒結이진행되어成長한粒子이다. Fig. 6에서는X-ray廻折에서도대부분의 $\alpha\text{-Fe}_2\text{O}_3$ 로서微細粒子는소실되면서粒子가크게성장하여있고grain boundary도선명하게나타나있으며粒子의表面도smooth하게보인다. 사진에서검게보이는부분은replica제작시replica用film의용해가불충분하여남은것으로燒結體의構造와는無關한것이다.

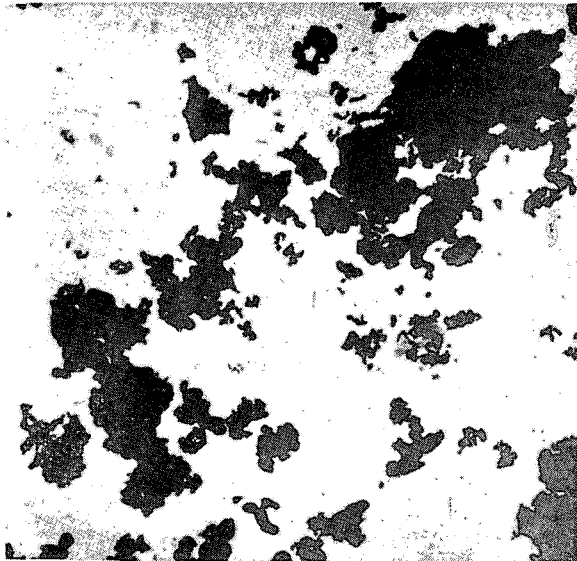
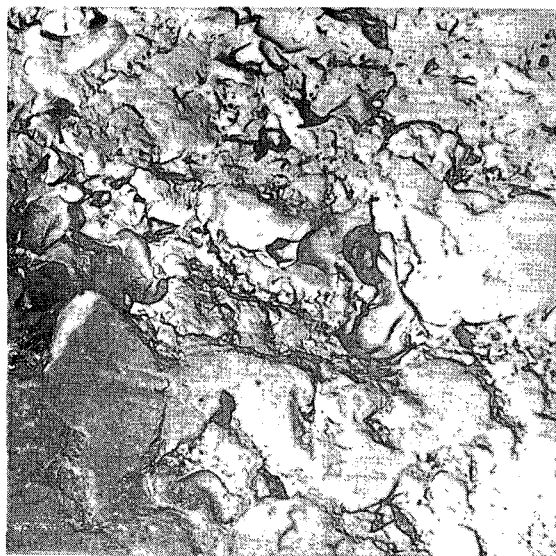
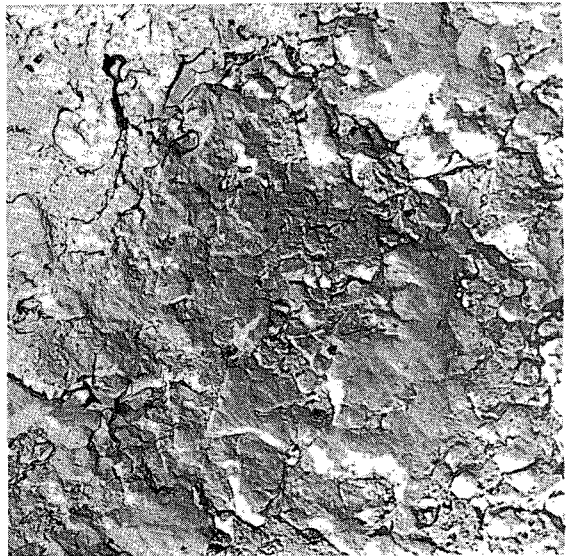
結論

1. 一次燒成한試料에있어서의hexagonal barium ferrite相의量은 BaCO_3 과 Fe_2O_3 의mole比가 $1:3$ 일때가장많았으며이結果는同一條件에서磁性測定의結果와一致하였다.

2. Barium-ferrite의組織은그試料表面을etching하지않고서도燒結狀態를관찰할수있었다. 앞으로燒結溫度에따른hexagonal barium ferrite의生成量을X-ray로추구하고燒結에따른粒度成長을電子顯微鏡으로검토하겠다.

REFERENCES

- Drobck J., W.C. Bigelow and R.G. Wells. (1961). Electron Microscopic Studies of Growth Structure in Hexagonal Ferrites. *J. Amer. Ceram. Soc.*, 44, 262~64.
- Goto Y., T. Takado. (1960). *J. Amer. Ceram. Soc.*, 43, 150.
- Kazuyoshi Kobayashi, Eizaburo Kuzuhara, Motoioda. (1963). On Iron Oxide for Ferrites Use. *J.S.P.M.* 10, 5, 215~220.
- Michael Erchak, Jr. J. Fankuchan and Roland Ward. (1946). Reaction between Ferric Oxide and Barium Carbonate in the Solid Phase. Identification of Phases by X-ray Diffraction. *J. Am. Chem. Soc.*, 68, 2085~2093.
- Okazaki C. (1965). Review of Barium Ferrite *J.S.P.M.*, 12, 1, 93~101.
- Tsubasa Mutsunobu. (1966). Determination of Iron, Barium and Bismuth in Barium-Ferrite. *Japan Analyst*, 15, 12, 1384~86.
- Went, J.J., G.W. Rathenau, E.W. Garter and G. W. Costerhaut. (1952). Philips Tech. Rev., 13, 192.
- Whang-Bo Han, M.K. Doh. (1967). Studies on the Reaction Kinetics of Barium Ferrite. *J.K.I. Chem.*, 5, 4, 215.
- Whang-Bo Han, M.K. Doh. (1968). Studies on Preparation and Magnetic Properties of Barium Ferrite. *J.K.I. Chem.*, 6, 4.
- 電子顯微鏡學會編(1960). 電子顯微鏡의理論과應用Ⅱ, p. 220. 日本丸善株式會社

Fig. 1. Sample of Iron (III) Oxide \times 7,000Fig. 2. Sample of BaCO_3 \times 4,000Fig. 3. Sample of A sintered at 1280°C for 2 hours \times 7,000Fig. 4. Sample of B sintered at 1280°C for 2 hours \times 7,000

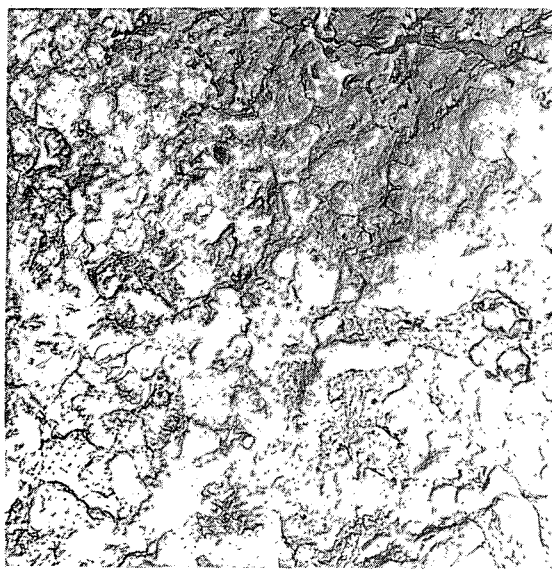


Fig. 5. Sample of C sintered at 1280°C for 2 hours \times 7,000



Fig. 6. Sample of D sintered at 1280°C for 2 hours \times 10,000

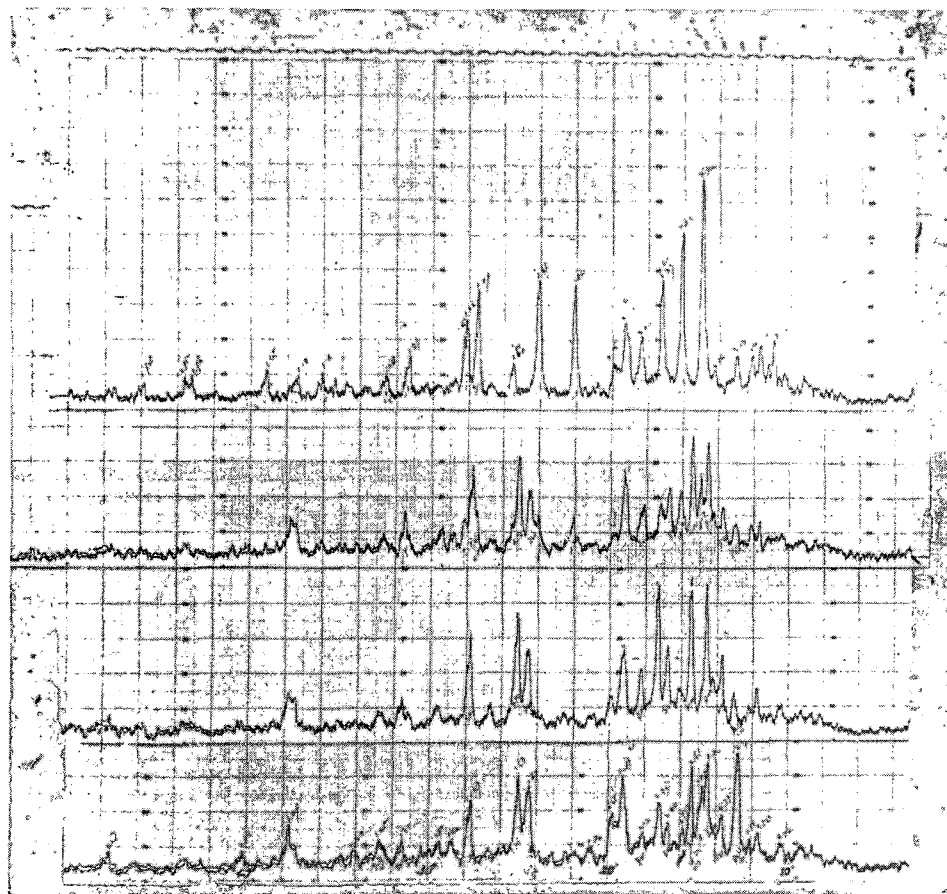


Fig. 7. X ray diffraction of Sample A, B, C, D